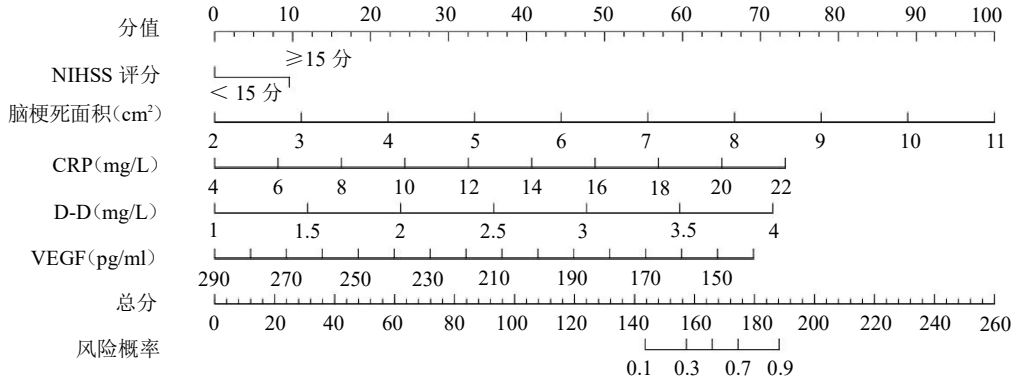
**吕圆圆，严益飞，楼港华.缺血性脑卒中患者继发血管性痴呆的预测模型构建**（见正文第 1243 页）




注：NIHSS 为美国国立卫生研究院卒中量表，CRP 为 C 反应蛋白，D-D 为 D-二聚体，VEGF 为血管内皮生长因子

**图 1** 缺血性脑卒中患者继发血管性痴呆的列线图模型

**周逸云，张岚，倪杨丹，等.宫颈单发性朗格汉斯细胞组织细胞增生症 1 例报告并文献复习**（见正文第 1302 页）

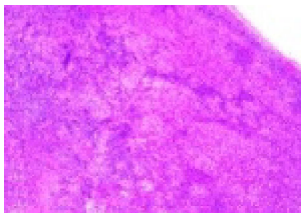
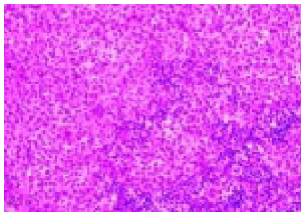


**图 2** 朗格汉斯细胞弥漫性浸润，破坏宫颈鳞状上皮（HE 染色，×40）



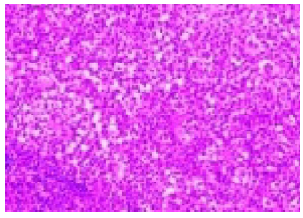
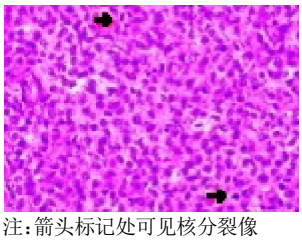


**图 3、4** 肿瘤细胞部分呈淡粉染嗜酸性，部分呈空泡状改变（HE 染色，×200）



注：箭头标记处可见核分裂像

**图 5** 肿瘤细胞呈肾形、咖啡豆样，可见核沟（HE 染色，×400）

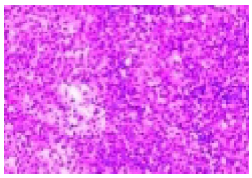


**图 6** 嗜酸性粒细胞浸润伴微脓肿形成（HE 染色，×200）

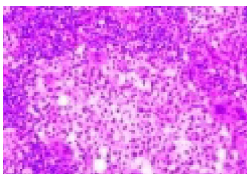


**图 7** 肿瘤细胞巢周围分布多核巨细胞（HE 染色，×200）

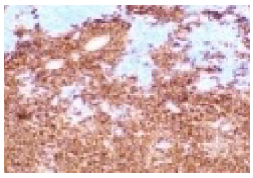


**图 8** CD1a 表达强阳性（免疫组化，×200）

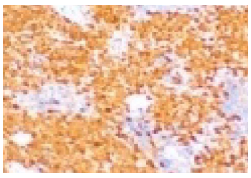


**图 9** S-100 弥漫阳性（免疫组化，×200）

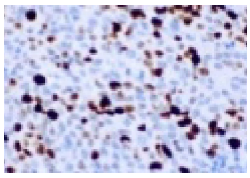


**图 10** 热点区 Ki-67 指数较高（免疫组化，×400）

**郭颖妮，朱广球，曹东航，等.剖宫产术中羊水栓塞成功抢救麻醉处理 1 例报告**（见正文第 1304 页）

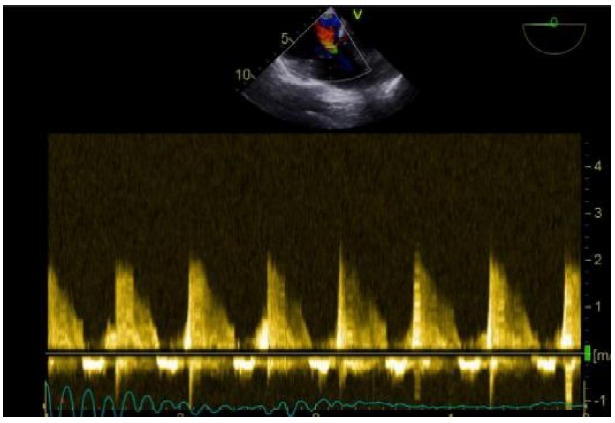


**图 11** 经食道超声心动图